



سچ از دور و سامانه اطلاعات جغرافیایی در منابع طبیعی (سال نهم / شماره چارم) زمستان ۱۳۹۷

نمایه شده در سایت: پایگاه استنادی علوم جهان اسلام، جهاد دانشگاهی، مگ ایران، نورمگر، سیویلیکا، Google Scholar

آدرس وب سایت: <http://girs.iaubushehr.ac.ir>



اثر نوع پیش‌پردازش رقومی و روش مدل‌سازی بر آورد اندوخته کربن روی زمینی جنگل‌های زاگرس با استفاده از تصویرهای لندست ۸

امیر صفری^۱، هرمز سهرابی^{*۲}

- دانش آموخته دکتری جنگلداری، دانشکده منابع طبیعی و علوم دریایی، دانشگاه تربیت مدرس
- دانشیار گروه جنگلداری، دانشکده منابع طبیعی و علوم دریایی، دانشگاه تربیت مدرس

مشخصات مقاله

چکیده

هدف این مطالعه، بررسی اثر روش‌های مختلف پیش‌پردازش تصویرهای لندست و روش‌های مدل‌سازی بر صحت برآورد اندوخته کربن روی زمینی در جنگل‌های زاگرس در دو منطقه گهواره با حداقل تخریب و سرفیروزآباد باشد تخریب بالا در استان کرمانشاه است. مقایسه روش‌های مختلف پیش‌پردازش رقومی بر روی تصویرهای لندست ۸ را در قالب سناریوهای مختلف پیش‌پردازش‌های تصحیحات رادیومتری، اتمسفری، توپوگرافی و ترکیب آنها اجرا شد. برای هر سناریو چهار روش مدل‌سازی رگرسیون خطی، مدل جمعی تعییم‌یافته، جنگل تصادفی و ماشین بردار پشتیبان موردنظر قرار گرفتند. در اغلب موارد تصحیح رادیومتری با ضریب تبیین اصلاح شده $R^2_{adj} = 0.71$ و درصد ریشه میانگین مربعات خطای $RMSE\% = 0.30$ درصد ($RMSE\% = 0.30$) نتایج بهتری ارائه کرد. مقایسه چهار روش مدل‌سازی بیانگر صحت پایین‌تر برآوردها در منطقه سرفیروزآباد باشد تخریب بیشتر ($RMSE\% = 0.58$) در مقایسه با منطقه گهواره با تخریب کمتر ($R^2_{adj} = 0.74$) است. روش جنگل تصادفی برای منطقه گهواره و روش رگرسیون خطی و مدل جمعی تعییم‌یافته برای منطقه سرفیروزآباد نتایج بهتری ارائه نمود. به هر حال، نتایج نشان داد که انتخاب روش پیش‌پردازش و مدل‌سازی مناسب تأثیر قابل ملاحظه‌ای بر صحت برآورد مشخصه‌های کمی جنگل با استفاده از تصویرهای لندست دارد.

واژه‌های کلیدی:
پیش‌پردازش تصاویر
روش مدل‌سازی آماری
لندست ۸
اندوخته کربن روی زمینی
جنگل‌های زاگرس

مقدمه

آثار این عوامل انجام پیش‌پردازش‌های مناسب برای تصحیح اثرات حسگر، تابش خورشیدی، اتمسفری و توپوگرافی یک اقدام لازم و ضروری است (۳۸). زیرا تمامی محاسبات بعدی به تصویرهای تولیدی بعد از اجرای مرحله پیش‌پردازش وابسته هستند (۳)، این پیش‌پردازش‌ها عموماً شامل تصحیح هندسی، تبدیل به رادیانس، تصحیح اتمسفری و تصحیح توپوگرافی هستند. به‌حال برای استفاده از این داده‌ها یک رویکرد واحد معرفی شده وجود نداشته و تعداد زیادی رویکردهای متناقض استفاده شده است (۴۰).

تصحیح رادیومتری شامل آن دسته از تصحیحات است که بر روی درجات خاکستری اعمال شده و فقط با تغییر مقدارهای آن‌ها به صورت مجزا (پیکسل به پیکسل) نسبت به اصلاح برخی خطاهای اقدام می‌کند (۲). این تصحیح ارزش رقومی در تصویرهای ماهواره‌ای را به رادیانس در سطح زمین ارتباط می‌دهد و نیازمند ضرایب کالibrاسیون حسگر است، در مقابل تصحیح اتمسفری یک رویکرد معنی‌دار برای کاهش اثرات اتمسفری و تبدیل رادیانس سطح زمین به مقدار واقعی تشعشع منعکس شده از سطح زمین است (۱۰).

تصحیحات توپوگرافی مخصوصاً در مناطق کوهستانی، برای حذف اثرات شبیب، جهت و ارتفاع استفاده می‌شود. تصحیح توپوگرافی سبب حذف اثر شکل نامنظم زمین بر روی انعکاسات ضبط شده توسط حسگرهای ماهواره می‌شود. این اثرات سبب یک اختلاف شدید در پاسخ طیفی برای انواع پوشش گیاهی مشابه است، به‌طوری‌که در نواحی آفتایی انعکاس بیشتر و در نواحی سایه این انعکاس کمتر خواهد بود (۵ و ۳۱).

چندین مطالعه برای ارزیابی عملکرد روش‌های مختلف پیش‌پردازش تصاویر ماهواره‌ای انجام گرفته است. فوی و همکاران (۱۴) روش‌های مختلف تصحیح اتمسفری را بر روی تصویرهای لنdest در مالزی انجام داد. نتایج نشان داد روش ACTOR3 از دیگر روش‌ها بهتر است. هانتسون و چوویکو (۲۰) روش‌های مختلف تصحیح توپوگرافی را بروی صحبت تهیه نقشه پوشش زمین در کشور اسپانیا مورد مقایسه قراردادند

نگرانی گسترده در جوامع بین‌المللی به دلیل افزایش انتشار کربن و نقش آن در گرمایش جهانی سبب شده تا اندازه‌گیری و پایش اندوخته کربن اکوسیستم زمینی در مقیاس ملی، منطقه‌ای و جهانی به یک موضوع پژوهشی مهم تبدیل گردد (۲۰). در طی دهه اخیر اکوسیستم جنگلی با بیشترین اندوخته کربن در بین اکوسیستم زمینی، نقش مهمی در تعادل کربن جهانی را بازی کرده است (۳۵). به‌طورکلی، کربن در جنگل‌ها در دو منبع زیستوده و مواد آلی خاک اندوخته شده است (۲۲). کربن موجود در خاک به‌طور فیزیکی و شیمیایی حفظ شده و به‌آسانی اکسید نمی‌شوند (۱۳، ۱۵ و ۳۴). در مقابل کربن زیستوده و بخصوص اندوخته کربن روی زمینی به آشوب‌های طبیعی و انسانی حساس است، از این‌رو اغلب مطالعات بر روی کمی کردن اندوخته کربن روی زمینی متمرکر شده‌اند. روش‌های مختلفی برای برآورد اندوخته کربن معرفی شده است که در بین آن‌ها استفاده از فن‌های سنچش از دور به عنوان یک روش سریع و کم‌هزینه برای استفاده در سطح وسیع و نقاط غیرقابل دسترس موردنوجه قرار گرفته است (۲۰). بسیاری از داده‌های سنچش از دوری به دلیل هزینه بالا و عدم پوشش مکانی و زمانی با چالش جدی برای استفاده روبرو هستند (۶ و ۱۷). برنامه تصویربرداری از سطح زمین توسط ماهواره لنdest که از سال ۱۹۷۲ آغاز شده، اطلاعات ارزشمندی را طی چند دهه اخیر برای مطالعات مختلف فراهم آورده است (۳۳). تصویرهای لنdest با ویژگی‌های منحصر به‌فردی از قبیل آرشیو طولانی مدت و رایگان، پوشش جهانی و تفکیک زمانی مناسب فراهم آورنده یک منبع ارزشمند و مهم برای آماربرداری ویژگی‌های پوشش گیاهی است (۱۱، ۳۳، ۳۷ و ۴۰). که از سال ۲۰۰۸ برای تحقیقات زیست‌محیطی مورد استفاده قرار گرفته است (۵ و ۲۸).

اثرات مختلفی مانند جذب اتمسفری، پراکندگی تابش الکترومغناطیسی، اختلافات توپوگرافی و اثرات سایه بر نتایج برآوردها با استفاده از تصویرهای لنdest و سایر تصویرهای ماهواره‌ای اثر می‌گذارد (۱۰). بنابراین، برای به حداقل رساندن

چند متغیره بودن است (۹ و ۴۵). این تحقیق سعی دارد اثر روش‌های پیش‌پردازش مانند تصحیح رادیومتری، اتمسفری، توپوگرافی و ترکیب آن‌ها و روش‌های مختلف مدل‌سازی آماری را برای برآورد اندوخته کربن روی زمینی با استفاده از تصویرهای لندست باهم مقایسه نماید.

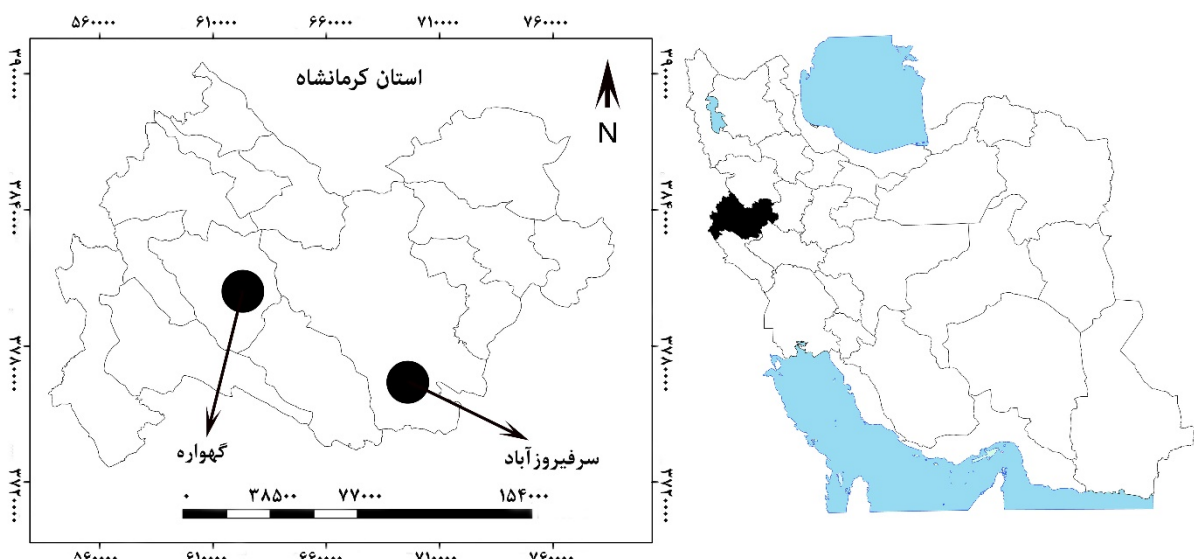
مواد و روش‌ها

منطقه مورد مطالعه

این تحقیق در بخشی از جنگل‌های زاگرس و در استان کرمانشاه انجام شد. برای انجام این مطالعه، دو توده یکی در جنگل‌های بخش سر فیروزآباد در شهرستان کرمانشاه با تخریب شدید و دیگری جنگل‌های بخش گهواره در شهرستان دالاهو با حداقل تخریب و دست‌خورده‌گی انتخاب شد (شکل ۱). گهواره با اقلیم نیمه مرطوب در دامنه ارتفاعی ۱۴۶۲ تا ۲۰۹۷ و منطقه سر فیروزآباد با اقلیم نیمه خشک در دامنه ارتفاعی ۱۲۳۰ تا ۲۱۲۷ قرار دارد و به ترتیب دارای متوسط دمای سالیانه ۱۵/۵۰ و ۲۲/۷ درجه سانتی‌گراد هستند. تیپ جنگل در هر دو منطقه به صورت شاخه زاد است.

که روش C بهتر از سایر روش‌ها بوده است. فوی و همکاران (۱۴) روش‌های مختلف تصحیح اتمسفری را برای طبقه‌بندی پوشش زمین با استفاده از تصاویر لندست ۸ را مورد آزمون قراردادند. صحت طبقه‌بندی در حالت بدون استفاده از تصحیح اتمسفری ۶۸٪ بود که بعد از تصحیح اتمسفری به روش MODTRAN و تصحیح توپوگرافی به روش Cosine به ۹۳٪ افزایش پیدا کرد. به حال برای استفاده از تصویرهای ماهواره و از جمله لندست یک رویکرد واحد معرفی نشده و تعداد زیاد رویکردهای متناقض وجود دارد.

عامل تأثیرگذار دیگر بر صحت برآورد مشخصه‌های کمی جنگل از جمله اندوخته کربن، روش‌های مدل‌سازی آماری است. با توجه به اینکه عملکرد روش‌های مدل‌سازی به شرایط منطقه، مقیاس مورد مطالعه و اندازه نمونه بستگی دارد، تاکنون هیچ روش مدل‌سازی به عنوان بهترین معرفی نشده است (۴۲). طبق یافته پژوهش‌های گذشته، روابط بین متغیرهای طیفی داده‌های سنجش‌از دور و مشخصه‌های کمی جنگل اغلب از نوع غیرخطی است. بنابراین الگوریتم‌های یادگیری ماشین به‌طور گسترده در دهه‌های اخیر توسعه یافته‌اند، زیرا دارای مزایای متعددی مانند عدم نیاز به پیروی از هرگونه توزیع و



شکل ۱. منطقه مورد بررسی

تصحیح هندسی انجام نگرفت. برای حذف اثر توپوگرافی از باندهای طیفی در دامنه مرئی تا مادون قرمز با طول موج کوتاه تصویر لنdest از روش تصحیح توپوگرافی C استفاده شد. این روش در مطالعات مختلف به عنوان یک روش مناسب و کارا برای تصحیح توپوگرافی تصاویر لنdest معرفی شده است (۵، ۱۹، ۲۶، ۳۱ و ۳۶). تصحیح توپوگرافی با استفاده از مدل رقومی زمین استخراج شده از تصاویر ASTER انجام شد. ارزش رقومی هر باند طیفی توسط ضرایب کالیبراسیون موجود (at-sensor) درداده همراه با باندها به رادیانس در-حس کر (dr-sensor) مورد تصحیح رادیومتری قرار گرفت. تصحیح اتمسفری Line-of-sight تصویرهای مورد استفاده توسط روش (Atmospheric Analysis of Spectral Hypercube FLAASH) انجام شد. به منظور بررسی اثر پیش‌پردازش مختلف بر صحبت برآورده اندوخته کربن توسط تصویرهای لنdest چندین سناریو در نظر گرفته شد. سناریوهای یک تا چهار به ترتیب شامل تصویرهای خام و بدون هیچ پیش‌پردازشی، فقط تصحیح رادیومتری، فقط تصحیح اتمسفری، فقط تصحیح توپوگرافی بودند. ترکیب تصحیحات رادیومتری و توپوگرافی در قالب سناریو شماره پنج و ترکیبی از تصحیحات رادیومتری، اتمسفری و توپوگرافی در سناریو شماره شش موردنبررسی قرار گرفتند.

متغیرهای طیفی

متغیرهای طیفی استخراج شده از تصویرهای لنdest ۸ که در پژوهش‌های گذشته به عنوان مهم‌ترین متغیر برای برآورده سنجش از دوری زی توده معرفی شده‌اند، مورداستفاده قرار گرفت (جدول ۱ و شکل‌های ۲، ۳ و ۴). گروه اول مقدارهای باندهای اصلی حس کر شامل باندهای قرمز (R)، مادون قرمز نزدیک (NIR)، مادون قرمز با طول موج کوتاه (SWIR1&2)، گروه دوم شامل نسبت‌های باندی ساده حاصل از ۴ باند ذکرشده در گروه مقدارهای باندی است. گروه شاخص‌های گیاهی از ۳ شاخص تشکیل شده است.

جمع‌آوری اطلاعات زمینی و محاسبه اندوخته کربن
مونه‌بندی (Stratification) جنگل سبب افزایش دقت برآورده ویژگی‌های جنگل می‌شود (۳۷). برای مونه‌بندی دو منطقه موردنبررسی، از نقشه شاخص سطح برگ استخراج شده از تصویرهای لنdest با استفاده از الگوریتم جهانی ارائه شده توسط نول و همکاران (۲۸) انجام شد. زیرا استفاده از شاخص سطح برگ در مونه‌بندی کمک می‌کند تا قطعات نمونه در کل ساختار تاج پراکنش یابد. پس از تهیه نقشه شاخص سطح برگ، این نقشه برای هر کدام از دو منطقه به طور مجزا به سه مونه با تراکم کم، متوسط و زیاد طبقه‌بندی شد. سپس، در هر مونه پس از جنگل‌گردشی یک چندضلعی برای برداشت نمونه‌ها انتخاب شد. نمونه‌برداری براساس طرح تصادفی-منظم با ابعاد شبکه آماربرداری ۲۰۰×۲۰۰ متر انجام گرفته و درنهایت در منطقه سر فیروزآباد ۶۱ نمونه و در منطقه گهواره ۶۳ نمونه برداشت شد. قطعات نمونه به شکل مریع و اندازه نمونه‌ها مطابق با پیکسل لنdest (۳۰ × ۳۰ متر) انتخاب شد. اندوخته کربن روی زمینی درختان با استفاده از روابط آلومتریک ارائه شده توسط ایران‌منش (۱) برای درختان بلوط زاگرس محاسبه شد، و درنهایت از جمع اندوخته کربن تک‌تک درختان درنهایت مقدار کربن روی زمینی در هکتار و در قطعه نمونه به دست آمد.

داده‌های لنdest

برای بررسی اثر پیش‌پردازش تصویرهای لنdest برآورده اندوخته کربن روی زمینی در جنگل‌های موردنبررسی، یک فریم از این تصاویر به شماره گذر ۱۶۷ و ردیف ۳۶ مربوط به تاریخ دهم آگوست برابر با ۱۹ مرداد سال ۱۳۹۴ و نزدیک به زمان آماربرداری از پایگاه USGS دانلود شد.

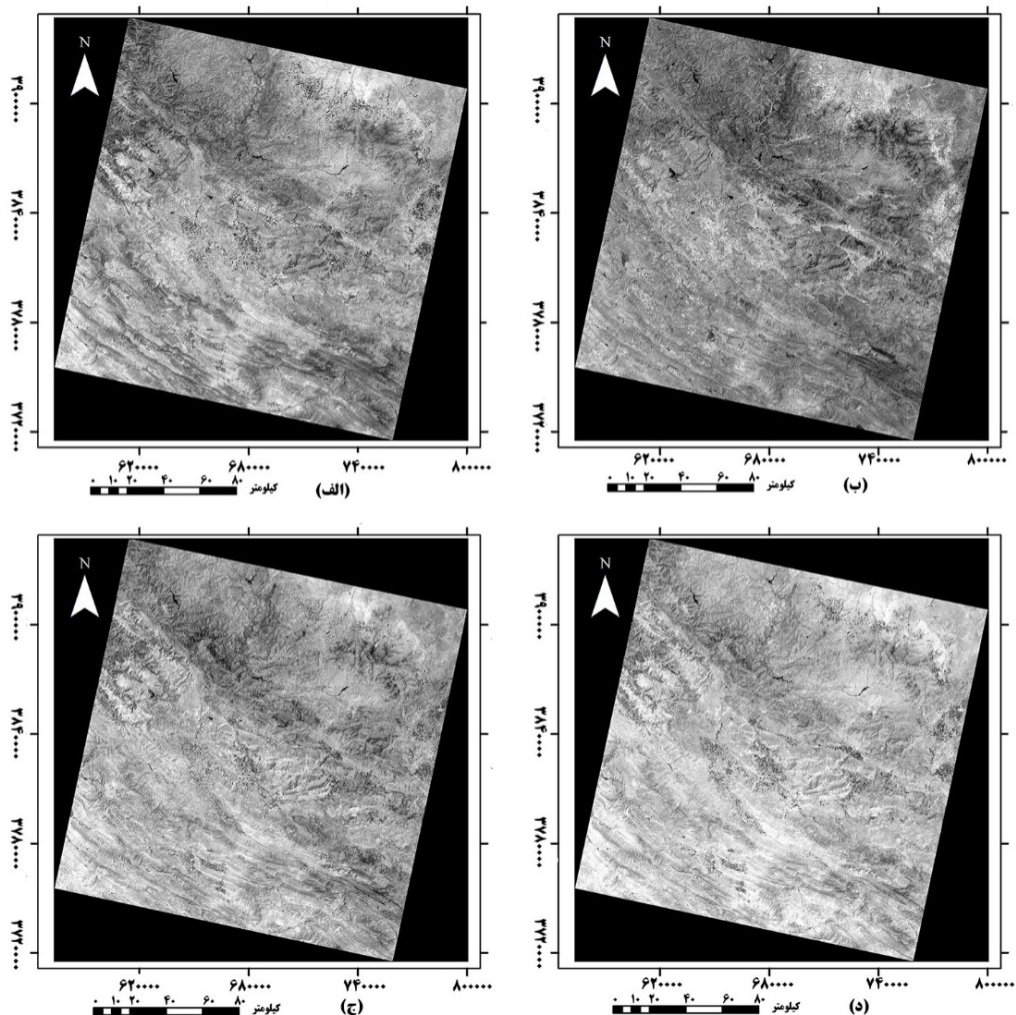
پیش‌پردازش تصاویر

دقت هندسی تصویرهای اخذشده با استفاده از بردارهای جاده و رودخانه کنترل گردید، با توجه به دقت تصویرها

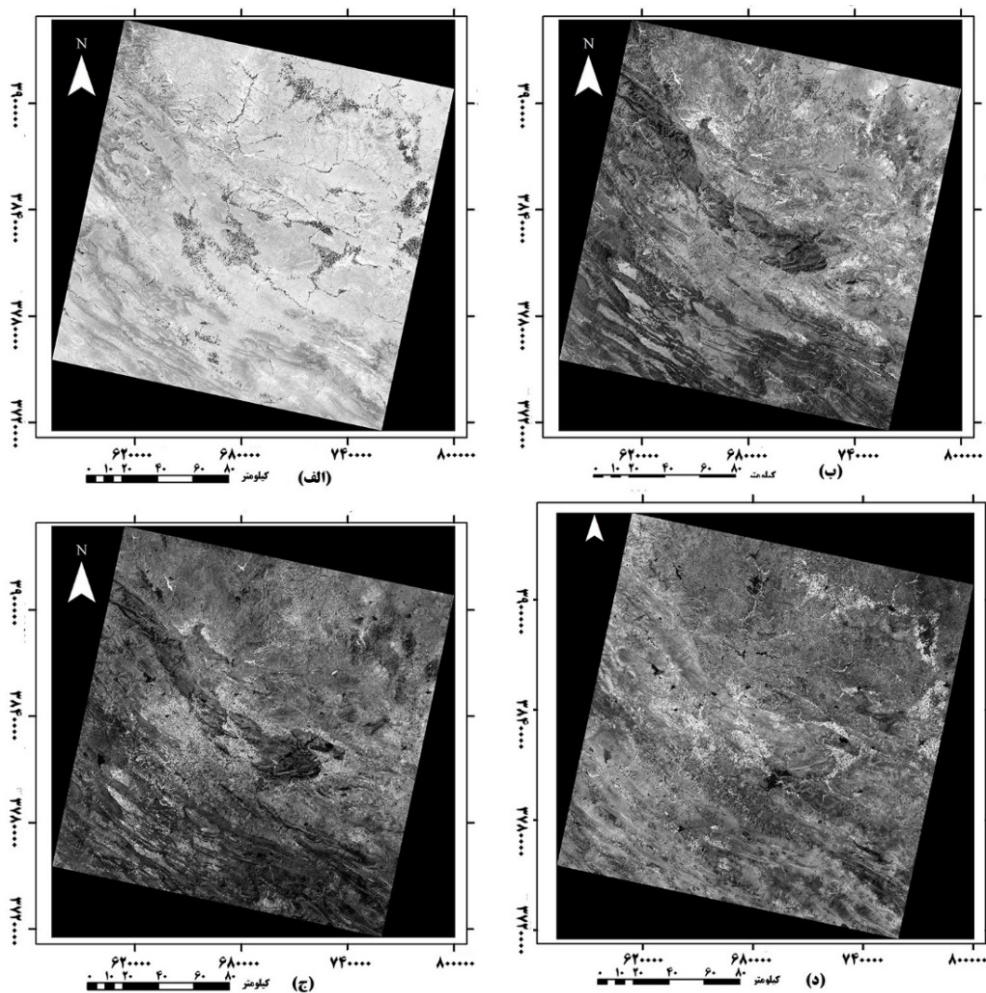
جدول ۱. متغیرهای استخراج شده از تصویر لندست برای برآورد کربن روی زمینی

جزئیات	گروه متغیرها	گروه طبقی
R, NIR, SWIR 1 &2	مقادیرهای باندی	۱
R/NIR, R/SWIR1, R/SWIR2, SWIR1/SWIR2	نسبت‌های باندی ساده	۲
NDVI, DVI	شاخص‌های گیاهی	۳

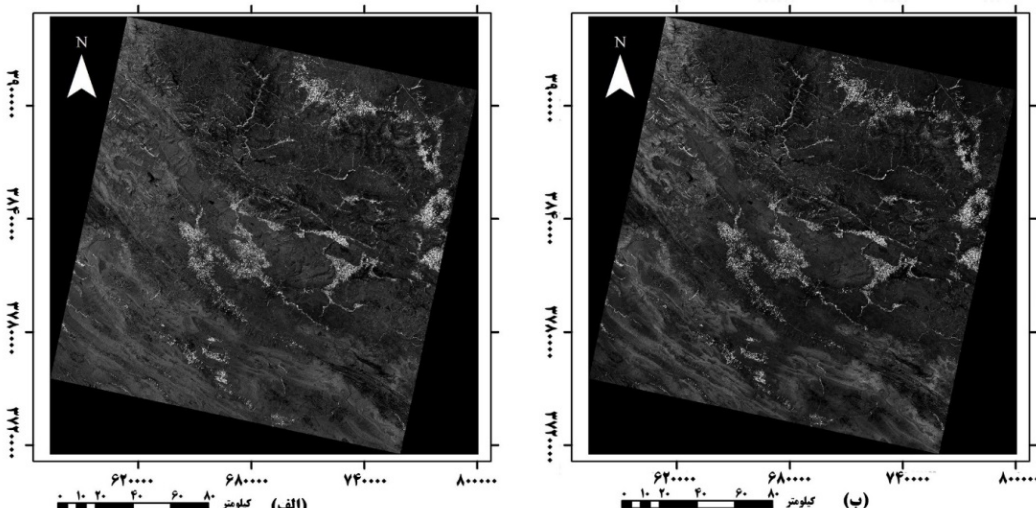
R: Red, NIR: Near infrared, SWIR 1 & 2: Short wave infrared 1 & 2, NR: NIR/R, NDVI: Normalized Difference Vegetation Index ($= (\text{NIR}-\text{R})/(\text{NIR}+\text{R})$), DVI: Difference Vegetation Index ($= \text{NIR}-\text{R}$)



شکل ۲. تصویر باندهای قرمز (R) (الف)، مادون قرمز نزدیک (NIR) (ب)، مادون قرمز با طول موج کوتاه ۱ (SWIR1) (ج) و مادون قرمز با طول موج کوتاه ۲ (SWIR2) (د)



شکل ۳. تصویر نسبت‌های باندی قرمز به مادون‌قرمز (R/NIR) (الف)، قرمز به مادون‌قرمز با طول موج کوتاه ۱ (R/SWIR1) (ب)، قرمز به مادون‌قرمز با طول موج کوتاه ۲ (R/SWIR2) (ج) و مادون‌قرمز با طول موج کوتاه ۱ به مادون‌قرمز با طول موج کوتاه ۲ (د) (SWIR1/SWIR2)



شکل ۴. تصویر شاخص‌های گیاهی NDVI (الف) و DVI (ب)

این روش با تبدیل داده‌های ورودی به یک فضای ابر صفحه چندبعدی توسطتابع کرنل عمل می‌کند که سبب گروه‌بندی داده‌های ورودی برای برآورده متغیر هدف استفاده می‌شوند. ایده اصلی روش ماشین بردار پشتیبان به حداقل رساندن ریسک ساختاری برای بهینه‌سازی و تعدیل مشکل بیش برآش است (۱۷).

ارزیابی مدل‌ها

برای ارزیابی صحت مدل‌ها از روش ارزیابی متقابل به روش Leave-one-out استفاده شد. برای مقایسه روش‌های آماری مورداستفاده در این تحقیق با استفاده از مقدارهای حقیقی اندازه‌گیری شده و برآورده توسط اجرای مدل‌ها از شاخص‌های ضریب تبیین اصلاح شده (رابطه ۱)، جذر میانگین مربعات خطأ و درصد جذر میانگین مربعات خطأ (رابطه‌های ۲ و ۳)، اربیبی و درصد اربیبی (رابطه‌های ۴ و ۵) استفاده شده است.

$$R_{adj}^2 = 1 - \frac{(1-R^2) \times (m-1)}{n-(k-1)} \quad [۱]$$

$$RMSE = \sqrt{\sum_{i=1}^n \frac{(\hat{y}_i - y_i)^2}{n}} \quad [۲]$$

$$RMSE\% = \frac{RMSE}{\bar{y}} \times 100 \quad [۳]$$

$$Bias = \sum_{i=1}^n \frac{(\hat{y}_i - y_i)}{n} \quad [۴]$$

$$Bias\% = \frac{Bias}{\bar{y}} \times 100 \quad [۵]$$

در این رابطه‌ها، R^2_{adj} ضریب تبیین اصلاح شده، y_i مقدار مشاهده شده، \hat{y}_i مقدار برآورده شده، \bar{y} مقدار میانگین مشاهدات، n تعداد مشاهدات، m تعداد متغیرهای مستقل و k تعداد متغیرهای وابسته وارد شده در مدل.

نتایج

مشخصه‌های آماری محاسبه شده از ۱۲۴ قطعه نمونه برای مقدار اندوخته کردن روی زمینی در هر دو منطقه مورد بررسی نشان می‌دهد که جنگل گهواره میانگین اندوخته کردن بالاتری

روش‌های مدل‌سازی

دانمه گسترده‌ای از روش‌ها، شامل روش‌های پارامتریک، نیمه‌پارامتریک و ناپارامتریک برای کمی‌سازی اندوخته کردن با استفاده از سنجش‌از دور مورد استفاده قرار گرفته است. در این تحقیق از یک روش پارامتریک (رگرسیون خطی چندگانه)، یک روش نیمه‌پارامتریک (مدل جمعی تعیین‌یافته) و دو روش ناپارامتریک (جنگل تصادفی و ماشین بردار پشتیبان) استفاده شد. رگرسیون خطی چندگانه توسط حداقل مربعات برآش می‌یابد و عموماً در برآورده مشخصه‌های کمی جنگل مورد استفاده قرار می‌گیرد. مدل جمعی تعیین‌یافته یک روش نیمه‌پارامتری بوده و براساس چارچوب کلی مدل خطی تعیین توسعه‌یافته است. روش بسیار مناسبی برای کشف روابط پیچیده غیرخطی بدون هیچ‌گونه پیش‌فرض در مورد شکل مدل است. چارچوب مدل‌سازی توسط این روش به این شکل است که، ۱) روابط بین متغیرهای مستقل و وابسته از یک رابطه خطی یا غیرخطی تبعیت می‌کند، و ۲) مدل می‌تواند این روابط را به طور هم‌زمان تخمین زده و سپس با استفاده از آن برآوردها را انجام دهد (۳۹). جنگل تصادفی یک روش مدل‌سازی ناپارامتری و درخت پایه است که یک مجموعه درختان رگرسیون و طبقه‌بندی است و گسترش‌یافته مدل رگرسیون Bagging درختی است (۴ و ۷). درختان جنگل از رویکرد توسط یک زیرمجموعه از نمونه‌های آموزشی با جایگزینی ایجاد می‌شوند. یعنی در زمان‌های مختلف، نمونه مشابه می‌تواند انتخاب شود در حالی که نمونه‌هایی هم وجود دارد که ممکن است اصلاً انتخاب نشوند. جنگل با افزایش درختانی با واریانس بالا و اربیبی پایین توسعه می‌یابد. درواقع این مدل از یک مجموعه تصمیم‌گیری قانون-مبنا برای ارزیابی رابطه‌های بین متغیرهای وابسته و مستقل استفاده می‌کند (۱۷). ماشین بردار پشتیبان که به ماشین کرنل هم معروف است، یک الگوریتم آماری است. این مدل با این فرض اجرا می‌شود که هر مجموعه از متغیرهای مستقل یک رابطه منحصر به فرد با متغیر وابسته دارد و گروهی از متغیرهای مستقل می‌توانند برای تشخیص فوانین جهت پیش‌بینی متغیر هدف به کاربرده شوند.

کربن روی زمینی در جنگل گهواره ۳۸ درصد بیشتر از این مقدار در جنگل سرفیروز آباد است.

(۹/۹۳ تن در هکتار) نسبت به جنگل سرفیروز آباد (۶/۱۲ تن در هکتار) دارد (جدول ۲). به عبارت دیگر میانگین اندوخته

جدول ۲. مشخصه‌های آماری اندازه‌گیری شده اندوخته کربن روی زمینی در جنگل‌های مورد مطالعه

منطقه	مونه	تعداد نمونه	کمینه	میانگین	بیشینه	انحراف معیار	اندوخته کربن روی زمینی (تن در هکتار)
سرفیروز آباد	۱	۲۱	۲/۳	۴/۶	۸/۹	۱/۸	۳/۰
	۲	۲۰	۲/۵	۶/۶	۱۲/۹	۳/۰	۱/۸
	۳	۲۰	۴/۱	۷/۴	۱۰/۲	۲/۵	۲/۶
	کل	۶۱	۲/۳	۶/۲	۱۲/۹	۴/۹	۲/۶
گهواره	۱	۲۴	۰	۴/۴	۹/۶	۳/۸	۲۲/۰
	۲	۲۰	۳/۸	۱۱/۱	۲۵/۷	۴/۳	۲۵/۷
	۳	۱۹	۱۱/۳	۱۵/۸	۲۵/۷	۵/۹	۹/۹
	کل	۶۳	۰	۸/۱	۲۵/۷	۴/۹	۲۵/۷
مجموع دو منطقه		۱۲۴					

یافته است. روش ماشین بردار پشتیبان برآوردهای با اریبی بیشتری نسبت به دیگر روش‌ها ارائه نموده است.

مقایسه اثر پیش‌پردازش‌های مختلف تصاویر و روش‌های مدل‌سازی بر برآورد اندوخته کربن روی زمینی برآوردهای اندوخته کربن روی زمینی برای منطقه‌های موردنظری با استفاده از شاخص‌های آماری ضریب تبیین اصلاح شده، جذر میانگین مربعات خطأ، درصد جذر میانگین مربعات خطأ، اریبی و درصد اریبی با استفاده از پیش‌پردازش‌های مختلف و روش‌های مدل‌سازی مختلف در جدول‌های ۳ تا ۸ ارائه شده است.

سناریو ۲: فقط تصحیح رادیومتری لندست ۸

برآوردهای اندوخته کربن روی زمینی برای سناریو ۲ (فقط تصحیح رادیومتری) برای دو منطقه موردنظری سرفیروز آباد و گهواره و کل دو منطقه باهم نشان می‌دهد که مدل رگرسیون خطی و مدل جمعی تعیین یافته (ضریب تبیین اصلاح شده ۰/۵۸ و درصد ریشه میانگین مربعات خطأ ۲۵/۸۴ درصد) در منطقه سرفیروز آباد برآورد بهتری نسبت به روش‌های ناپارامتریک جنگل تصادفی و ماشین بردار پشتیبان (ضریب تبیین اصلاح شده ۰/۴۶ و درصد ریشه میانگین مربعات خطأ ۲۸/۵۱ درصد) ارائه کرده است. روش‌های مدل‌سازی مورداستفاده برآوردهای با اریبی جزئی ارائه نموده‌اند به استثناء روش ماشین بردار پشتیبان در منطقه گهواره که اریبی نسبتاً بالاتری (۳/۰۹ درصد) محاسبه نموده است (جدول ۴).

سناریو ۱: تصویرهای خام لندست ۸

برآوردهای اندوخته کربن روی زمینی برای سناریو ۱ (تصویرهای خام و بدون هیچ پیش‌پردازشی) برای دو منطقه موردنظری سرفیروز آباد و گهواره و کل دو منطقه باهم در جدول ۳ نشان داده شده است. نتایج نشان می‌دهد که اندوخته کربن روی زمینی در توده کمتر دست‌خورده گهواره (ضریب تبیین اصلاح شده ۰/۷۱) نسبت به توده دست‌خورده سرفیروز آباد (ضریب تبیین اصلاح شده ۰/۵۷) بهتر برآذش

اثر نوع پیش پردازش رقومی و روش مدل سازی بر ...

جدول ۳. مقادیر ضریب تبیین اصلاح شده، جذر میانگین مربعات خطأ و اربیی محاسبه شده برای برآورد اندوخته کردن روی زمینی توسط روش های مدل سازی رگرسیون خطی، مدل جمعی تعییم یافته، جنگل تصادفی و ماشین بردار پشتیبان در سناریو ۱

روش	منطقه	ضریب تبیین اصلاح شده	جذر میانگین مربعات خطأ	درصد جذر میانگین مربعات خطأ	اربیی (ton/ha)	درصد
رگرسیون خطی	سرفیروزآباد	۰/۵۷	۱/۶۰	۲۵/۸۴	۰/۰۰	-۰/۰۵
	گهواره	۰/۷۰	۳/۱۶	۳۱/۸۳	۰/۰۰	۰/۰۰
	کل	۰/۷۱	۲/۶۰	۳۲/۰۹	-۰/۰۱	-۰/۱۲
مدل جمعی تعییم یافته	سرفیروزآباد	۰/۵۸	۱/۵۸	۲۵/۵۲	۰/۰۱	۰/۲۲
	گهواره	۰/۷۱	۳/۱۳	۳۱/۳۵	-۰/۰۱	-۰/۱۳
	کل	۰/۷۱	۲/۶۱	۳۲/۲۲	-۰/۰۲	-۰/۲۳
جنگل تصادفی	سرفیروزآباد	۰/۴۶	۱/۷۷	۲۸/۵۱	-۰/۰۱	-۰/۱۲
	گهواره	۰/۷۵	۲/۸۶	۲۸/۷۸	-۰/۰۵	-۰/۵۲
	کل	۰/۷۱	۲/۵۷	۳۱/۷۹	-۰/۰۱	-۰/۱۲
ماشین بردار پشتیبان	سرفیروزآباد	۰/۵۵	۱/۶۴	۲۶/۴۱	-۰/۱۴	-۲/۲۹
	گهواره	۰/۷۳	۲/۹۸	۳۰/۰۵	-۰/۲۴	-۲/۴۷
	کل	۰/۷۱	۲/۶۰	۳۲/۰۶	-۰/۱۳	-۱/۵۶

جدول ۴. مقادیر ضریب تبیین اصلاح شده، جذر میانگین مربعات خطأ و اربیی محاسبه شده برای برآورد اندوخته کردن روی زمینی توسط روش های مدل سازی رگرسیون خطی، مدل جمعی تعییم یافته، جنگل تصادفی و ماشین بردار پشتیبان در سناریو ۲

روش	منطقه	ضریب تبیین اصلاح شده	جذر میانگین مربعات خطأ	درصد جذر میانگین مربعات خطأ	اربیی (ton/ha)	درصد
خطی	سرفیروزآباد	۰/۵۶	۱/۶۳	۲۶/۱۸	۰/۰۰	-۰/۰۴
	گهواره	۰/۷۱	۳/۰۷	۳۰/۹۵	۰/۰۱	۰/۱۵
	کل	۰/۷۱	۲/۵۹	۳۱/۹۳	-۰/۰۱	-۰/۱۲
مدل جمعی تعییم یافته	سرفیروزآباد	۰/۵۸	۱/۵۹	۲۵/۷۸	۰/۰۱	۰/۲۳
	گهواره	۰/۷۱	۳/۰۹	۳۰/۹۸	-۰/۰۱	-۰/۰۹
	کل	۰/۷۰	۲/۶۶	۳۲/۸۲	-۰/۰۱	-۰/۱۶
جنگل تصادفی	سرفیروزآباد	۰/۴۶	۱/۷۸	۲۸/۶۵	۰/۰۰	۰/۰۵
	گهواره	۰/۷۵	۲/۸۷	۲۸/۹۵	۰/۰۴	۰/۴۰
	کل	۰/۷۳	۲/۵۰	۳۰/۸۹	-۰/۰۶	-۰/۸۰
ماشین بردار پشتیبان	سرفیروزآباد	۰/۵۱	۱/۷۱	۲۷/۵۴	۰/۰۲	۰/۲۸
	گهواره	۰/۷۴	۲/۹۲	۲۹/۴۵	-۰/۳۱	-۳/۰۹
	کل	۰/۷۲	۲/۵۷	۳۱/۷۰	۰/۱۵	-۱/۸۷

جدول ۵ نشان داده شده است. نتایج نشان می دهد که روش

جنگل تصادفی نتایج بهتری نسبت به دو روش رگرسیون خطی و مدل جمعی تعییم یافته ارائه کرده است. بهترین ضریب تبیین اصلاح شده و درصد جذر میانگین مربعات خطای محاسبه برای منطقه سرفیروزآباد $0/۳۲$ و $۳۱/۹۰\%$ است. در منطقه

سناریو ۳: فقط تصحیح اتمسفری لندست ۸

ضریب تبیین اصلاح شده، جذر میانگین مربعات خطأ و اربیی محاسبه شده برای برآوردهای اندوخته کردن روی زمینی در سناریو ۳ (فقط تصحیح اتمسفری) برای دو منطقه موردنرسی سرفیروزآباد و گهواره و کل دو منطقه باهم در

ترتیب ۰/۶۴ و ۳۴/۴۰٪ توسط روش‌های ناپارامتریک جنگل تصادفی و ماشین بردار پشتیبان محاسبه شد (جدول ۵).

دست‌خورده سرفیروزآباد بالاترین مقادیر ضریب تبیین اصلاح شده و پایین‌ترین درصد جذر میانگین مربعات خطابه

جدول ۵. مقادیر ضریب تبیین اصلاح شده، جذر میانگین مربعات خطابه و اربیبی محاسبه شده برای برآورد اندوخته کرbin روی زمینی توسط روش‌های مدل‌سازی رگرسیون خطی، مدل جمعی تعییم‌یافته، جنگل تصادفی و ماشین بردار پشتیبان در سناریو ۳

روش	منطقه	ضریب تبیین اصلاح شده	جذر میانگین مربعات خطابه درصد جذر میانگین مربعات خطابه	اربیبی درصد اربیبی (ton/ha)
رگرسیون خطی	سرفیروزآباد	۰/۲۴	۲/۰۴	۰/۰۰
	گهواره	۰/۵۸	۳/۷۴	۰/۶۱
	کل	۰/۵۴	۳/۲۹	۰/۰۱
مدل جمعی تعییم‌یافته	سرفیروزآباد	۰/۲۸	۲/۰۳	۰/۶۷
	گهواره	۰/۶۱	۳/۵۷	-۰/۲۶
	کل	۰/۵۶	۳/۲۱	۰/۱۲
جنگل تصادفی	سرفیروزآباد	۰/۳۲	۱/۹۵	-۰/۷۹
	گهواره	۰/۶۴	۳/۴۱	-۰/۷۵
	کل	۰/۶۰	۲/۹۴	۰/۱۹
ماشین بردار پشتیبان	سرفیروزآباد	۰/۲۵	۲/۰۵	-۱/۸۴
	گهواره	۰/۶۴	۳/۴۶	-۴/۷۳
	کل	۰/۶۳	۲/۹۴	-۴/۱۸

سناریو ۵ در منطقه موردنظری سرفیروزآباد دو روش رگرسیون خطی و مدل جمعی تعییم‌یافته نتایج بهتری ارائه نموده است (ضریب تبیین اصلاح شده ۰/۵۵ و درصد ریشه میانگین مربعات خطابه ۲۶/۳۲ درصد). یافته‌ها در منطقه گهواره بیانگر این مطلب است که جنگل تصادفی با اختلاف جزئی نتایج بهتری نسبت به سایر روش‌ها محاسبه کرده است (ضریب تبیین اصلاح شده ۰/۷۴ و درصد ریشه میانگین مربعات خطابه ۲۹/۷۶ درصد). روش‌های مدل‌سازی مختلف استفاده شده نتایج نسبتاً مشابهی در بخش ضریب تبیین اصلاح شده و درصد جذر میانگین مربعات خطابه ارائه کرده‌اند. روش‌های رگرسیون خطی و مدل جمعی تعییم‌یافته نتایجی با اربیبی کمتر محاسبه نموده‌اند (جدول ۷). تمامی روش‌های مدل‌سازی استفاده شده به استثناء ماشین بردار پشتیبان برآوردهای با اربیبی پایین داشته‌اند.

سناریو ۴: فقط تصحیح توپوگرافی لندست ۸

برآوردهای اندوخته کرbin روی زمینی برای سناریو ۴ برای دو منطقه موردنظری سرفیروزآباد و گهواره و کل دو منطقه باهم در جدول ۶ نشان داده شده است. نتایج نشان می‌دهد که برای منطقه سرفیروزآباد و گهواره به ترتیب مدل جمعی تعییم‌یافته (ضریب تبیین اصلاح شده ۰/۵۷ و درصد ریشه میانگین مربعات خطابه ۲۵/۹۰ درصد) و جنگل تصادفی (ضریب تبیین اصلاح شده ۰/۵۷ و درصد ریشه میانگین مربعات خطابه ۲۹/۷۶ درصد) نتایج بهتری حاصل کرده‌اند (جدول ۶). روش رگرسیون خطی و مدل جمعی تعییم‌یافته برآوردهای با اربیبی کمتری ارائه نموده است.

سناریو ۵: تصحیح رادیومتری + توپوگرافی لندست ۸

مقادیر ضریب تبیین اصلاح شده و جذر میانگین مربعات خطابی برآورده شده برای اندوخته کرbin روی زمینی برای

جدول ۶. مقادیر ضریب تبیین اصلاح شده، جذر میانگین مربعات خطأ و اربیی محاسبه شده برای برآورد اندوخته کربن روی زمینی توسط روش های مدل سازی رگرسیون خطی، مدل جمعی تعییم یافته، جنگل تصادفی و ماشین بردار پشتیبان در سناریو ۴

روش	منطقه	ضریب تبیین اصلاح شده	جذر میانگین مربعات خطأ	درصد جذر میانگین مربعات خطأ	اربیی (ton/ha)	درصد اربیی
رگرسیون خطی	سرفیروز آباد	۰/۰۵	۱/۶۳	۲۶/۳۲	-۰/۰۲	-۰/۱۹
	گهواره	۰/۷۰	۳/۱۴	۳۱/۶۷	-۰/۰۲	-۰/۱۶
	کل	۰/۷۰	۲/۶۴	۳۲/۶۱	۰/۰۰	-۰/۰۴
مدل جمعی تعییم یافته	سرفیروز آباد	۰/۰۷	۱/۶۰	۲۵/۹۰	۰/۰۴	۰/۵۸
	گهواره	۰/۷۰	۳/۱۴	۳۱/۴۹	-۰/۰۱	-۰/۰۹
	کل	۰/۷۱	۲/۶۲	۳۲/۳۳	-۰/۰۲	-۰/۲۲
جنگل تصادفی	سرفیروز آباد	۰/۰۵۴	۱/۶۶	۲۶/۶۹	-۰/۰۸	-۱/۲۷
	گهواره	۰/۷۴	۲/۹۵	۲۹/۷۶	-۰/۰۵	-۰/۵۲
	کل	۰/۷۲	۲/۵۳	۳۱/۱۸	-۰/۰۲	-۰/۲۷
ماشین بردار پشتیبان	سرفیروز آباد	۰/۰۴۷	۱/۷۹	۲۸/۷۷	-۰/۰۱	-۳/۳۹
	گهواره	۰/۷۱	۳/۱۲	۳۱/۴۰	-۰/۱۶	-۱/۶۰
	کل	۰/۷۸	۳/۲۷	۳۲/۹۸	-۰/۰۴	-۲/۴۴

جدول ۷. مقادیر ضریب تبیین اصلاح شده، جذر میانگین مربعات خطأ و اربیی محاسبه شده برای برآورد اندوخته کربن روی زمینی توسط روش های مدل سازی رگرسیون خطی، مدل جمعی تعییم یافته، جنگل تصادفی و ماشین بردار پشتیبان در سناریو ۵

روش	منطقه	ضریب تبیین	جذر میانگین مربعات خطأ (ton/ha)	درصد جذر میانگین مربعات خطأ	اربیی (ton/ha)	درصد اربیی
رگرسیون خطی	سرفیروز	۰/۰۵	۱/۶۳	۲۶/۱۸	۰/۰۰	-۰/۴۲
	گهواره	۰/۷۱	۳/۰۷	۳۰/۹۵	۰/۱۰	۰/۱۵
	کل	۰/۷۱	۲/۵۹	۳۱/۹۳	۰/۰۱	-۰/۱۲
مدل جمعی تعییم یافته	سرفیروز	۰/۰۵	۱/۶۶	۲۶/۷۵	۰/۰۴	۰/۶۳
	گهواره	۰/۷۱	۳/۱۲	۳۱/۳۰	۰/۰۰	۰/۰۱
	کل	۰/۷۱	۲/۵۹	۳۱/۹۳	۰/۰۱	-۰/۰۹
تصادفی	سرفیروز	۰/۰۵۰	۱/۷۲	۲۷/۷۷	۰/۰۱	۰/۲۴
	گهواره	۰/۷۲	۳/۰۲	۳۰/۴۳	۰/۰۶	-۰/۶۱
	کل	۰/۷۰	۲/۶۴	۳۲/۵۷	۰/۰۸	-۱/۰۴
ماشین	سرفیروز	۰/۰۵۱	۱/۷۲	۲۷/۶۶	۰/۱۴	-۲/۲۱
	گهواره	۰/۷۳	۲/۹۷	۲۹/۹۱	۰/۰۷	-۰/۷۰
	کل	۰/۷۲	۲/۵۳	۳۱/۲۲	۰/۱۷	-۲/۱۵

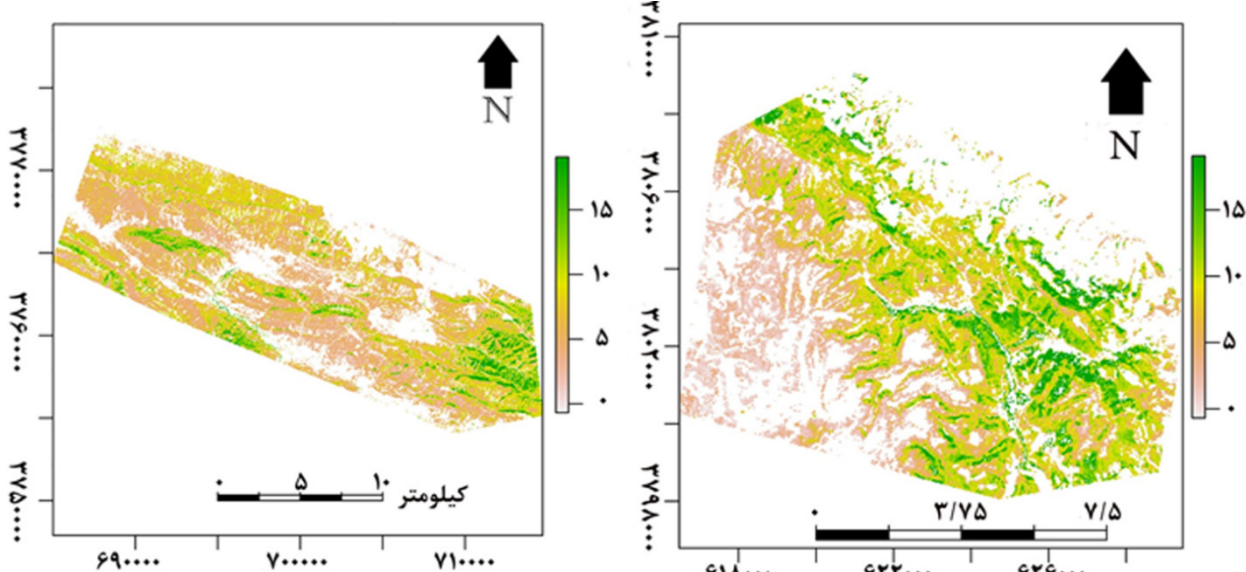
سناریو ۶: تصحیح رادیومتری + تصحیح اتمسفری + توپوگرافی
لندست ۸
درصد ریشه میانگین مربعات خطأ ۲۷/۲۱ (درصد). یافته ها در مورد منطقه گهواره بیانگر نتایج بهتر با اختلاف جزئی توسط روش جنگل تصادفی است (ضریب تبیین اصلاح شده ۰/۰۵۵ و درصد ریشه میانگین مربعات خطأ ۲۶/۳۲ درصد) (جدول ۸).
نتایج محاسبه شده در مورد سناریو مشابه نتایج سناریو ۵ است، و مدل های رگرسیون خطی و جمعی تعییم یافته نتایج با صحت بالاتر ارائه کرده اند (ضریب تبیین اصلاح شده ۰/۰۵۱ و

جدول ۸ مقادیر ضریب تبیین اصلاح شده، جذر میانگین مربعات خطأ و اربیی محاسبه شده برای برآورد اندوخته کربن روی زمینی توسط روش های مدل سازی رگرسیون خطی، مدل جمعی تعمیم یافته، جنگل تصادفی و ماشین بردار پشتیبان در سناریو ۶

روش	منطقه	ضریب تبیین اصلاح شده	جذر میانگین مربعات خطأ	درصد جذر میانگین مربعات خطأ	اربیی (ton/ha)	درصد اربیی
رگرسیون خطی	سرفیروز آباد	۰/۵۱	۱/۶۹	۲۷/۲۱	۰/۰۰	-۰/۰۹
	گهواره	۰/۷۰	۳/۱۶	۳۱/۸۴	۰/۰۰	۰/۰۰
	کل	۰/۶۸	۲/۷۴	۳۳/۷۹	-۰/۰۲	-۰/۰۷
مدل جمعی تعمیم یافته	سرفیروز آباد	۰/۵۱	۱/۷۱	۲۷/۶۶	۰/۰۴	۰/۵۷
	گهواره	۰/۶۶	۳/۳۷	۳۳/۷۶	۰/۰۰	-۰/۰۴
	کل	۰/۶۶	۲/۷۸	۳۴/۳۰	-۰/۰۱	-۰/۰۸
جنگل تصادفی	سرفیروز آباد	۰/۴۰	۱/۹۰	۳۰/۶۷	-۰/۰۸	۱/۴۲
	گهواره	۰/۷۲	۳/۰۵	۳۰/۷۰	-۰/۲۱	-۲/۱۱
	کل	۰/۷۱	۲/۶۴	۳۲/۵۹	۰/۰۱	۰/۱۳
ماشین بردار پشتیبان	سرفیروز آباد	۰/۴۰	۱/۸۸	۳۰/۳۱	-۰/۰۱	-۰/۱۱
	گهواره	۰/۶۹	۳/۱۹	۳۲/۱۸	-۰/۲۹	-۲/۹۴
	کل	۰/۶۲	۲/۹۹	۳۷/۰۲	-۰/۲۴	-۲/۹۷

و گهواره با استفاده از بهترین پیش پردازش و روش مدل سازی در مقیاس تن در هکتار تهیه شد (شکل ۵).

درنهایت نقشه های اندوخته کربن روی زمینی تهیه شده از هر دو منطقه مورد بررسی به ترتیب برای دو منطقه سرفیروز آباد



شکل ۵. نقشه اندوخته کربن روی زمینی برآورده شده در منطقه سرفیروز آباد (سمت چپ) و منطقه گهواره (سمت راست)

مدل سازی می تواند گام های مهم برای بهبود صحت برآوردهای اندوخته کربن با استفاده از تصویرهای لندست باشند. در حالت تصویرهای خام و بدون انجام هیچ پیش پردازشی ضریب تبیین

بحث و نتیجه گیری
یافته های تحقیق حاضر نشان می دهد که انتخاب روش مناسب برای پیش پردازش تصویرهای لندست و روش مناسب

بدون داشتن چنین اطلاعاتی، تصحیح اتمسفری سبب افزایش عدم قطعیت‌ها در برآوردهای سنجش از دوری می‌شود (۴۳). به دلیل مقیاس مکانی وسیع پوشش تصویرهای ماهواره‌ای، ضبط داده از سطوح ناهموار زمین در مقیاس دو بعدی سبب اعوجاج و تحریف هندسی می‌شود. تصحیح رادیومتری امکان ارتباط دادن مقدارهای رقومی در تصویرهای ماهواره‌ای را به رادیانس در سطح زمین را فراهم می‌آورد (۱۰). علاوه بر این، تصحیح رادیومتری اثرات اتمسفری روشنایی‌های مختلف را به خاطر زمان روز، موقعیت بر روی زمین و توپوگرافی را کاهش دهد (۸ و ۲۹). اطلاعات لازم برای تصحیح رادیومتری بر روی تصویرهای لنست کمتر بوده و فقط مستلزم داشتن ضرایب کالibrasiون حسگر است، که این مشخصات همراه با تصویر ارائه می‌شود. این موضوع در پژوهش حاضر روش بود، زیرا طبق سناریو ۲ و جدول ۵ بالاترین صحت مربوط به شرایطی بود که فقط تصحیح رادیومتری در آن انجام شده بود. به هر حال، طبق نتایج در وضعیت استفاده از تصحیح اتمسفری انجام تصحیح توپوگرافی لازم و ضروری به نظر می‌رسد. اغلب مطالعات ابتدایی در زمینه برآورد زی توده براساس فرض وجود رابطه خطی بین متغیرهای مستقل و وابسته انجام شده است. اما با توجه به روشن شدن وجود روابط غیرخطی بین متغیرهای مستقل استخراج شده از تصویرهای ماهواره‌ای و متغیر وابسته اندازه‌گیری شده در روی زمین، فرضیه قبلی مبنی بر خطی بودن روابط متوقف شد (۱۶). در مطالعه حاضر از انواع روش‌های پارامتری، نیمه پارامتری و ناپارامتری استفاده شد که بتواند با وجود فرض روابط خطی و غیرخطی وجود هرکدام از آن‌ها را بررسی کند. در منطقه سرفیروزآباد با مقدار زی توده کمتر (حدود ۷۲ تن در هکتار) روش‌های رگرسیون خطی و مدل جمعی تعیین یافته نتایج بهتری نسبت به دو روش جنگل تصادفی و ماشین بردار پشتیبان ارائه نمودند. که دلیل آن را می‌توان به تراکم کم زی توده در منطقه سرفیروزآباد و وجود رابطه خطی بین متغیرهای مستقل و وابسته است. علاوه بر این، این موضوع می‌تواند به دلیل معادله آلمتری مورد استفاده است

اصلاح شده و درصد جذر میانگین مربعات خطأ برای هر دو منطقه به ترتیب ۰/۷۱ و ۳۲/۵۹ و درصد محاسبه شد، درحالی که با انجام تصحیح اتمسفری این آمارهای به ترتیب ۰/۶۰ و ۳۶/۵۳ درصد تعیین شدند. انجام تصحیح توپوگرافی بر روی تصویرهای تصحیح شده فقط با تصحیح اتمسفری سبب بهبود صحت برآورد و افزایش آن به مقدارهای ۰/۷۱ برای ضریب تبیین اصلاح شده و ۳۲/۵۹ درصد برای درصد جذر میانگین مربعات خطأ شد. انجام فقط تصحیح توپوگرافی بر روی تصویر مورد استفاده نشان داد که انجام این تصحیح به تنهایی نسبت به تصویرهای خام هیچ بهبود قابل توجهی بر روی صحت برآورده ایجاد نکرده است. در حالت تصحیح رادیومتری به تنهایی بر روی تصویر لنست مقدارهای محاسبه شده برای ضریب تبیین اصلاح شده و درصد جذر میانگین مربعات خطابه ترتیب ۰/۷۳ و ۳۰/۹۳ درصد بود که بعد از انجام تصحیح توپوگرافی بر روی این تصویر این آمارهای به ترتیب ۰/۷۱ و ۳۰/۹۳ محاسبه شدند.

تصحیح توپوگرافی در این مطالعه صحت برآوردهای اندوخته کردن روی زمینی را بهبود نداد، این موضوع ممکن است به دلیل همگنی پوشش جنگل باشد که مناطق کوهستانی را پوشش می‌دهد (۲۸). نتایج تحقیقات فریزمن و همکاران (۱۲)، پیمپل و همکاران (۳۱)، آهیکاری و همکاران (۵) و هانتسون و چوویکو (۲۰) نشان داد که تفکیک مکانی و صحت مدل رقومی ارتفاعی اثر قابل توجهی بر اجرای تصحیح توپوگرافی دارند. درنتیجه، تفکیک مکانی ۳۰ متری مدل رقومی ارتفاعی استفاده شده در این تحقیق برای تصحیح توپوگرافی مؤثر نبوده است. نتایج مربوط به حالتی که در آن فقط تصحیح اتمسفری انجام شده است نسبت به سایر روش‌ها دارای پایین‌ترین صحت برآورده بودند. تصحیح اتمسفری انجام گرفته در این مطالعه مانند سایر تصحیحات از این دسته، نیازمند اطلاعات مختلف ورودی مانند آزمیوت و ارتفاع خورشید و حسگر، موقعیت مرکزی حسگر، مدل گرد و گاز موجود در هوا (روستایی، شهری و غیره) و اندازه‌گیری مشخصات دقیق شرایط اتمسفری در عرصه هم‌زمان بازمان اخذ تصویر است.

برداشت شده با مقدار متناظر آن در تصویر لندست به دلیل خطای دستگاه موقعیت یاب GPS و خطای هندسی تصویر، و استفاده از معادله آلمتری که سبب خطای برآورده اندوخته کردن درختان تا حدود ۲۰ درصد می‌شود (۲۷ و ۳۸).

منابع مورد استفاده

۱. ایران منش، ی. ۱۳۹۲. ارزیابی روش‌های برآورده زیستوده و ترسیب کردن گونه بلوط ایرانی (*Quercus brantii Lindle.*) در جنگل‌های استان چهارمحال و بختیاری، رساله دکتری، دانشگاه تربیت مدرس، ۱۰۶ صفحه.
۲. رستم‌زاده، ه.، ص. دارابی و ه. شهابی. ۱۳۹۶. آشکارسازی تغییرات جنگل بلوط با استفاده از طبقه‌بندی شیء‌گرای تصاویر چند زمانه لندست (مطالعه موردی: جنگل‌های شمال استان ایلام). کاربرد سنچش از دور و GIS در علوم منابع طبیعی، ۲(۸): ۹۲-۱۱۰.
۳. میرزابی‌زاده، و.، م. نیکنژاد و ج. اولادی قادیکلایی. ۱۳۹۴. ارزیابی الگوریتم‌های طبقه‌بندی نظارت شده غیرپارامتریک در تهیه نقشه پوشش زمین با استفاده از تصاویر لندست ۸ کاربرد سنچش از دور و GIS در علوم منابع طبیعی، ۶(۳): ۴۴-۲۹.
۴. یزدانی، م.، ش. شتابی جویباری، ج. محمدی و ی. مقصودی. ۱۳۹۶. بررسی مقایسه‌ای امکان برآورده برخی مشخصه‌های کمی ساختار توده‌های جنگل‌های خزری با استفاده از داده‌های رادار و تلفیق داده‌های رادار با لیدار. کاربرد سنچش از دور و GIS در علوم منابع طبیعی، ۶(۴): ۱۰۹-۱۲۶.
5. Adhikari H, Heiskanen J, Maeda EE, Pellikka PK. 2016. The effect of topographic normalization on fractional tree cover mapping in tropical mountains: An assessment based on seasonal Landsat time series. International Journal of Applied Earth Observation and Geoinformation, 52: 20-31.
6. Attarchi S, Gloaguen R. 2014. Improving the estimation of above ground biomass using dual polarimetric PALSAR and ETM⁺ data in the Hyrcanian mountain forest (Iran). Remote Sensing, 6(5): 3693-3715.
7. Barrachina M, Cristóbal J, Tulla A. 2015. Estimating above-ground biomass on mountain meadows and pastures through remote sensing. International Journal of Applied Earth Observation and Geoinformation, 38: 184-192.
8. Chen X, Liu S, Zhu Z, Vogelmann J, Li Z, Ohlen D. در این پژوهش است که بر مبنای تاج درختان است. زیرا مقدارهای طفی ثبت شده توسط حسگرهای نوری مانند لندست وابسته به تاج پوشش جنگل است، و این مشخصه و سایر ویژگی‌های وابسته به آن بهتر برآورده می‌شوند (۱۸ و ۲۵). در منطقه گهواره و مجموع دو منطقه با تراکم اندوخته کردن بالاتر (به ترتیب ۹/۲ و ۸/۱ تن در هکتار) نسبت به منطقه سرفیروزآباد، برآورده اندوخته کردن روی زمینی توسط روش‌های جنگل تصادفی و ماشین بردار پشتیبان با صحت بالاتری انجام گرفته است. تحقیق حاضر نشان می‌دهد که نتایج برآورده شده توسط روش جنگل تصادفی دارای اریبی کمتری نسبت به ماشین بردار پشتیبان بوده و به عنوان روش بهتر معرفی می‌شود. روش جنگل تصادفی توانایی کشف روابط پیچیده غیرخطی در بین متغیرها، محاسبه مقدارهای گمشده و اندازه‌گیری دقیق نسبت خطای در مقایسه با سایر روش‌های مدل‌سازی است (۴). هر درخت در جنگل تصادفی مستقل است، بنابراین روندهای اهمیت بین متغیرهای پیشگو تقسیم می‌شود و اگر آن‌ها همبستگی بالایی داشته باشند، یک متغیر مهم به تعدادی درخت و دیگر متغیرهای مهم در درختان دیگر حضور پیدا می‌کنند (۱۲ و ۱۶). نتایج ضعیف‌تر روش ماشین بردار پشتیبان نسبت به روش جنگل تصادفی می‌تواند به دلیل این مطلب باشد که این روش به شدت تحت تأثیر پارامترهای بیهینه برای اجرای مدل است (۲۴). اگرچه مقایسه مطالعات مختلف به دلیل شرایط مختلف جنگل و روش نمونه‌برداری کار ساده‌ای نیست (۴۱ و ۴۳)، اما در بهترین نتایج این تحقیق ضریب تبیین اصلاح شده بالاتر از ۰/۷۰ است که از نتایج تحقیقات دیگر در رابطه برآورده سنچش از دوری کردن با استفاده از تصویرهای لندست بهتر محسوب می‌شود (۱۱، ۱۶ و ۲۱ و ۳۰). نتایج بهتر این تحقیق می‌تواند به دلیل تراکم کم‌کردن و عدم رسیدن به نقطه اشباع نوری، ساختار همگن جنگل با یک‌گونه غالب و معادله آلمتری استفاده شده که بر مبنای اندازه تاج درختان است. با وجود نتایج نسبتاً خوب، هنوز مقداری از واریانس تشریح نشده وجود دارد که می‌تواند به دلیل چند عامل تشریح شود؛ عدم تطابق دقیق مختصات قطعه‌نمونه

2011. Estimating aboveground forest biomass carbon and fire consumption in the US Utah High Plateaus using data from the Forest Inventory and Analysis Program, Landsat, and LANDFIRE. *Ecological Indicators*, 11(1): 140-148.
9. Du H, Cui R, Zhou G, Shi Y, Xu X, Fan W, Lü Y. 2010. The responses of Moso bamboo (*Phyllostachys heterocycla* var. *pubescens*) forest aboveground biomass to Landsat TM spectral reflectance and NDVI. *Acta Ecologica Sinica*, 30(5): 257-263.
 10. Du Y, Teillet PM, Cihlar J. 2002. Radiometric normalization of multitemporal high-resolution satellite images with quality control for land cover change detection. *Remote Sensing of Environment*, 82(1): 123-134.
 11. Frazier RJ, Coops NC, Wulder MA, Kennedy R. 2014. Characterization of aboveground biomass in an unmanaged boreal forest using Landsat temporal segmentation metrics. *ISPRS Journal of Photogrammetry and Remote Sensing*, 92: 137-146.
 12. Freeman EA, Moisen GG, Coulston JW, Wilson BT. 2015. Random forests and stochastic gradient boosting for predicting tree canopy cover: comparing tuning processes and model performance. *Canadian Journal of Forest Research*, 46(3): 323-339.
 13. Fu L, Zhao Y, Xu Z, Wu B. 2015. Spatial and temporal dynamics of forest aboveground carbon stocks in response to climate and environmental changes. *Journal of Soils and Sediments*, 15(2): 249-259.
 14. Fuyi T, Mohammed S, Abdullah K, Lim H, Ishola K. 2013. A comparison of atmospheric correction techniques for environmental applications. In: 2013 IEEE International Conference on Space Science and Communication (IconSpace). IEEE, pp 233-237.
 15. Gagliasso D, Hummel S, Temesgen H. 2014. A comparison of selected parametric and non-parametric imputation methods for estimating forest biomass and basal area. *Open Journal of Forestry*, 4(1): 42.
 16. García M, Riaño D, Chuvieco E, Danson FM. 2010. Estimating biomass carbon stocks for a Mediterranean forest in central Spain using LiDAR height and intensity data. *Remote Sensing of Environment*, 114(4): 816-830.
 17. Ghosh SM, Behera MD. 2018. Aboveground biomass estimation using multi-sensor data synergy and machine learning algorithms in a dense tropical forest. *Applied Geography*, 96: 29-40.
 18. Gleason CJ, Im J. 2012. Forest biomass estimation from airborne LiDAR data using machine learning approaches. *Remote Sensing of Environment*, 125: 80-91.
 19. Güneralp İ, Filippi AM, Randall J. 2014. Estimation of floodplain aboveground biomass using multispectral remote sensing and nonparametric modeling. *International Journal of Applied Earth Observation and Geoinformation*, 33: 119-126.
 20. Hantson S, Chuvieco E. 2011. Evaluation of different topographic correction methods for Landsat imagery. *International Journal of Applied Earth Observation and Geoinformation*, 13(5): 691-700.
 21. Kwak D-A, Lee W-K, Cho H-K, Lee S-H, Son Y, Kafatos M, Kim S-R. 2010. Estimating stem volume and biomass of *Pinus koraiensis* using LiDAR data. *Journal of Plant Research*, 123(4): 421-432.
 22. Labrecque S, Fournier R, Luther J, Piercey D. 2006. A comparison of four methods to map biomass from Landsat-TM and inventory data in western Newfoundland. *Forest Ecology and Management*, 226(1-3): 129-144.
 23. Latifi H, Fassnacht FE, Hartig F, Berger C, Hernández J, Corvalán P, Koch B. 2015. Stratified aboveground forest biomass estimation by remote sensing data. *International Journal of Applied Earth Observation and Geoinformation*, 38: 229-241.
 24. Lin D, Lai J, Muller-Landau HC, Mi X, Ma K. 2012. Topographic variation in aboveground biomass in a subtropical evergreen broad-leaved forest in China. *PloS one*, 7(10): e48244.
 25. López-Serrano PM, López-Sánchez CA, Álvarez-González JG, García-Gutiérrez J. 2016. A comparison of machine learning techniques applied to landsat-5 TM spectral data for biomass estimation. *Canadian Journal of Remote Sensing*, 42(6): 690-705.
 26. Lu D, Chen Q, Wang G, Liu L, Li G, Moran E. 2016. A survey of remote sensing-based aboveground biomass estimation methods in forest ecosystems. *International Journal of Digital Earth*, 9(1): 63-105.
 27. Moreira EP, Valeriano MM. 2014. Application and evaluation of topographic correction methods to improve land cover mapping using object-based classification. *International Journal of Applied Earth Observation and Geoinformation*, 32: 208-217.
 28. Nolè A, Law B, Magnani F, Matteucci G, Ferrara A, Ripullone F, Borghetti M. 2009. Application of the 3-PGS model to assess carbon accumulation in forest ecosystems at a regional level. *Canadian Journal of Forest Research*, 39(9): 1647-1661.
 29. Oubrahim H, Boulmane M, Bakker MR, Augusto L, Halim M. 2015. Carbon storage in degraded cork oak (*Quercus suber*) forests on flat lowlands in Morocco. *iForest-Biogeosciences and Forestry*, 9(1): 125-137.

30. Phiri D, Morgenroth J, Xu C, Hermosilla T. 2018. Effects of pre-processing methods on Landsat OLI-8 land cover classification using OBIA and random forests classifier. *International Journal of Applied Earth Observation and Geoinformation*, 73: 170-178.
31. Pimple U, Sitthi A, Simonetti D, Pungkul S, Leadprathom K, Chidthaisong A. 2017. Topographic correction of Landsat TM-5 and Landsat OLI-8 imagery to improve the performance of forest classification in the mountainous terrain of Northeast Thailand. *Sustainability*, 9(2): 258.
32. Powell SL, Cohen WB, Healey SP, Kennedy RE, Moisen GG, Pierce KB, Ohmann JL. 2010. Quantification of live aboveground forest biomass dynamics with Landsat time-series and field inventory data: A comparison of empirical modeling approaches. *Remote Sensing of Environment*, 114(5): 1053-1068.
33. Riaño D, Chuvieco E, Salas J, Aguado I. 2003. Assessment of different topographic corrections in Landsat-TM data for mapping vegetation types (2003). *IEEE Transactions on Geoscience and Remote Sensing*, 41(5): 1056-1061.
34. Richter R, Kellenberger T, Kaufmann H. 2009. Comparison of topographic correction methods. *Remote Sensing*, 1(3): 184-196.
35. Saarinen N, White JC, Wulder MA, Kangas A, Tuominen S, Kankare V, Holopainen M, Hyypä J, Vastaranta M. 2018. Landsat archive holdings for Finland: Opportunities for forest monitoring. *Silva Fennica*, 52: 1-11.
36. Shao Z, Zhang L. 2016. Estimating forest aboveground biomass by combining optical and SAR data: a case study in Genhe, Inner Mongolia, China. *Sensors*, 16(6): 834.
37. Su Y, Guo Q, Xue B, Hu T, Alvarez O, Tao S, Fang J. 2016. Spatial distribution of forest aboveground biomass in China: Estimation through combination of spaceborne lidar, optical imagery, and forest inventory data. *Remote Sensing of Environment*, 173: 187-199.
38. Vanonckelen S, Lhermitte S, Van Rompaey A. 2013. The effect of atmospheric and topographic correction methods on land cover classification accuracy. *International Journal of Applied Earth Observation and Geoinformation*, 24: 9-21.
39. Vicente-Serrano SM, Pérez-Cabello F, Lasanta T. 2008. Assessment of radiometric correction techniques in analyzing vegetation variability and change using time series of Landsat images. *Remote Sensing of Environment*, 112(10): 3916-3934.
40. Wang X, Shao G, Chen H, Lewis BJ, Qi G, Yu D, Zhou L, Dai L. 2013. An application of remote sensing data in mapping landscape-level forest biomass for monitoring the effectiveness of forest policies in northeastern China. *Environmental Management*, 52(3): 612-620.
41. Wood SN. 2017. Generalized additive models: an introduction with R, vol 2nd Edition. Chapman and Hall/CRC, 496 pp.
42. Wu C, Shen H, Wang K, Shen A, Deng J, Gan M. 2016. Landsat imagery-based above ground biomass estimation and change investigation related to human activities. *Sustainability*, 8(2): 159.
43. Young NE, Anderson RS, Chignell SM, Vorster AG, Lawrence R, Evangelista PH. 2017. A survival guide to Landsat preprocessing. *Ecology*, 98(4): 920-932.
44. Zandler H, Brenning A, Samimi C. 2015. Quantifying dwarf shrub biomass in an arid environment: comparing empirical methods in a high dimensional setting. *Remote Sensing of Environment*, 158: 140-155.
45. Zhu X, Liu D. 2015. Improving forest aboveground biomass estimation using seasonal Landsat NDVI time-series. *ISPRS Journal of Photogrammetry and Remote Sensing*, 102: 222-231.



The effect of digital preprocessing and modeling method on an estimation of aboveground carbon stock of Zagros forests using Landsat 8 imagery

A. Safari¹, H. Sohrabi^{2*}

1. PhD Graduated Student of Forestry, Department of Natural Resources & Marine Sciences, Tarbiat Modares University
2. Assoc. Prof. College of Forestry, Department of Natural Resources & Marine Sciences, Tarbiat Modares University

ARTICLE INFO

Article history:

Received 21 October 2018
Accepted 17 January 2018
Available online 19 February 2019

Keywords:

Images preprocessing
Statistical modeling method
Landsat 8
Aboveground carbon stock
Zagros forests

ABSTRACT

The aim of this study, was to evaluate the effectiveness of different preprocessing methods and modeling techniques on the accuracy of aboveground carbon stock estimates in two forest stands with different degradation levels (Gahvareh forest and SarfiruzAbad), in Zagros forests in Kurdistan province. Comparison of different digital pre-processing methods on Landsat 8 images was carried out in different scenarios of radiometric, atmospheric, topographic and their combination. In each scenario, we used four modeling methods included linear regression, generalized additive model, random forest, and support vector machine. In most cases, radiometric correction with improved correction coefficient was 0.71 ($R^2_{adj}=0.71$) and the root means square error of 30% ($RMSe\%=0.30$) was outperformed. Comparison of four modeling methods indicates the lower accuracy of estimates in the SarfiruzAbad area with more degradation severity ($R^2_{adj}=0.58$) compared to the less damaged Gahvareh area ($RMSe\%=0.74$). The random forest method for Gahvareh area and linear regression and a generalized additive model for SarfiruzAbad provides better results, respectively. However, our findings showed that selection of suitable preprocessing and modeling method have a noticeable effect on the accuracies of characteristics estimates in forest ecosystems by Landsat imagery.

* Corresponding author e-mail address: hsohrabi@modares.ac.ir